Взаимосвязь между электронными корреляциями, магнитным состоянием и структурным ограничением в сверхтонких пленках LaNiO₃

 $H.\ O.\ Вамбольд^{+1)},\ \Gamma.\ A.\ Сажаев^*,\ И.\ В.\ Леонов^{\times +}$

Поступила в редакцию 19 октября 2023 г. После переработки 8 ноября 2023 г. Принята к публикации 9 ноября 2023 г.

В данной работе представлено теоретическое исследование влияния электронных корреляций и структурного ограничения на электронные свойства и магнитное состояние тонких пленок LaNiO₃ (LNO), эпитаксиально осажденных на подложку (001) LaAlO₃ (LAO). В рамках применения метода DFT + U были вычислены электронная структура, магнитные свойства и фазовое равновесие тонких пленок (LNO) толщиной 1.5 элементарной ячейки с обрывом связей по слою NiO_2 . Полученные результаты показывают сложное разнообразие электронных состояний, вызванное эффектами структурного ограничения, переноса заряда и электронных корреляций. Расчеты свидетельствуют о появлении зарядового расслоения ионов Ni с вектором (110) в интерфейсном слое NiO₂ антиферромагнитно упорядоченных тонких пленок LNO. Более того, электронные состояния как антиферромагнитные, так и ферромагнитные LNO/LAO демонстрируют большую орбитальную поляризацию ионов Ni в поверхностных слоях NiO₂. Было высказано предположение, что решающую роль для объяснения фазового перехода металл-диэлектрик, экспериментально наблюдаемого в тонких пленках LNO/LAO, играет формирование кислородных дефектов.

DOI: 10.31857/S1234567823240035, EDN: nnptwy

1. Введение. Теоретическое и экспериментальное понимание электронной структуры, магнитных свойств и фазовой стабильности сверхтонких пленок и гетероструктур сильно коррелированных оксидов переходных металлов [1, 2] с перовскитной кристаллической структурой представляет собой фундаментальную проблему [3–12]. Послойный синтез на атомном масштабе с наноразмерной толщиной слоя и контролируемым составом позволяет создавать новые функциональные материалы с полезными свойствами для широкого спектра применений в электронике, спинтронике, накопителях энергии и т.д. [6–11]. В подобных материалах сложное взаимодействие между сильными корреляциями, фазовой стабильностью и структурным ограничением приводит к большому разнообразию физических свойств и фазовых диаграмм [1, 2]. Все это делает такие системы крайне интересными для фундаментальных и прикладных исследований [6-12].

Особый интерес связан с описанием электронной структуры и магнитных свойств тонких пле-

нок (и гетероструктур) LaNiO₃, эпитаксиально осажденных на подложке из LaAlO₃ или SrTiO₃ (оба соединения - немагнитные диэлектрики с широкой энергетической щелью) [13-32]. LaNiO₃ (LNO) кристаллизуется в структуре перовскита с ромбоэдрической симметрией $(R\bar{3}c)$ и является единственным представителем никелатов $RNiO_3$ (R – редкоземельный элемент), который остается металлом при любых температурах вследствие вырождения e_q орбиталей Ni $(t_{2q}$ состояния полностью заселены) [3– 5,33-35]. Было показано, что LNO является материалом с отрицательным переносом заряда с электронной конфигурацией Ni $3d^{8}\underline{L}$ (\underline{L} – дырочное O 2p состояние). В отличие от LNO, другие представители $RNiO_3$ (R = Pr, Nd, Sm,..., Lu) демонстрируют переход металл-диэлектрик (МІТ) при низких температурах (и высоком давлении) [3–5, 33–43]. MIT сопровождается структурным фазовым переходом, который характеризуется "breathing-mode" искажениями октаэдров NiO₆ и формированием заряд-(связь-) диспропорционированного состояния ионов Ni [44, 45], с чередующимися локальным магнит-

⁺Физико-технологический институт, Уральский федеральный университет, 620002 Екатеринбург, Россия

^{*}Институт естественных наук и математики, Уральский федеральный университет, 620002 Екатеринбург, Россия

У Институт физики металлов им. М. Н. Михеева Уральского отделения РАН, 620108 Екатеринбург, Россия

¹⁾e-mail: nikitavamb@gmail.com

ным Ni^{2+} $3d^8$ и немагнитным спин-синглетным $3d^8\underline{L}^2$ электронными состояниями. Интересно, что среди никелатов переход металл-диэлектрик в $\mathrm{BiNiO_3}$ ассоциируется с "breathing-mode" искажениями и зарядовым упорядочением ионов Bi в A-узлах перовскита, в то время как заряд ионов Ni остается +2 [46, 47]. Кроме того, было показано, что зарядовое расслоение ионов Ni (волна зарядовой плотности) формируется в допированных дырками бесконечнослойных сверхпроводящих никелатах $R\mathrm{NiO_2}$ [48–59].

В тонких пленках LNO структурное ограничение снимает вырождение e_q состояний, что приводит к искажению решетки перовскита со значительной орбитальной поляризацией ионов Ni в поверхностных слоях [6-32]. Кроме того, эффект структурного ограничения и сильные корреляции в частично заполненной Ni 3d оболочке в тонких пленках LNO (и гетероструктурах) приводят к фазовому переходу металл-диэлектрик, экспериментально наблюдаемому для систем с толщиной в несколько слоев LNO [6-12]. МІТ зависит от толщины слоя LNO и эпитаксиальной деформации. Более того, было показано, что на электронную структуру и орбитальную поляризацию в тонких пленках LNO сильное влияние оказывают реконструкция поверхности и перенос заряда. Большое внимание привлекает сложное электронное поведение данных систем, что дает возможность тонкой настройки электронного состояния и магнитных свойств [60, 7, 11] путем эпитаксиальной деформации [6-32]. Тем не менее, свойства тонких LNO пленок остаются плохо изучеными.

2. Результаты и обсуждение.

А. Детали расчетов. В данной работе было проведено исследование электронной структуры и магнитных свойств тонких пленок LaNiO₃ эпитаксиально осажденных на подложке (001) LaAlO₃. В рамках применения метода DFT + U было исследовано влияние электронных корреляций, структурного ограничения и переноса заряда на электронную структуру и магнитное состояние [61, 62]. В ходе расчетов был использован асимметричный (001) LNO/LAO слэб с толщиной LNO пленки в 1.5 элементарные ячейки (u.c.) с обрывом связей по NiO_2 слою ($\sim 5.75\, {\rm \AA} \ {\rm LNO}$ пленка из двух NiO₂ слоев) [6–12]. LNO пленка лежит на подложке (001) LAO, которая описывалась с помощью метода сверхячейки (бралась толщиной в шесть слоев, $\sim 22.7\,\text{Å}$) (см. рис. 1). LNO/LAO слэб содержит 8 ф.е. LNO и 24 ф.е. LAO, всего 160 атомов. Каждый Ni-O (Al-O) слой содержит четыре иона Ni (Al). Толщина вакуумного слоя составляла $\sim 16\,\mathrm{\AA}$ $(\sim 4 \text{ u.c. LNO}).$

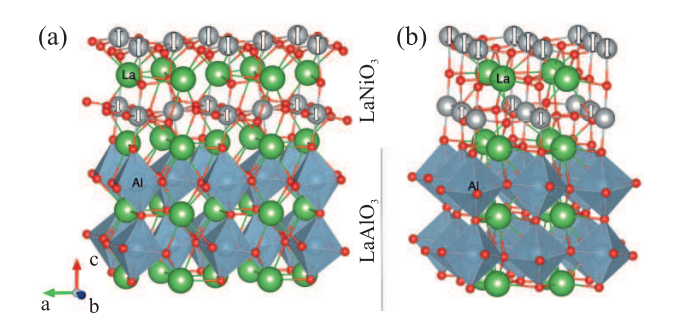


Рис. 1. (Цветной онлайн) Спин- и зарядовоупорядоченное состояние (001) LNO/LAO, полученное в рамках DFT + U структурной релаксации $(\frac{1}{2}\frac{1}{2}\frac{1}{2})$ (a) и С-типа AФM (b)

DFT + U расчеты проводились в рамках обобщенного градиентного приближения Perdew-Burke-Ernzerhof [63], реализованного в пакете Quantum ESPRESSO [64, 65]. Были использованы ультрамягкие псевдопотенциалы. Локальное кулоновское взаимодействие описано в приближении Дударева [62]. В согласии с предыдущими оценками $U_{\text{eff}} = U -$ -J = 5 эВ [21–32]. В расчетах не учитывалось спин-орбитальное взаимодействие и применялась поправка на дипольный момент, реализованная в [66]. В расчетах бралась подложка LAO с эпитаксиальным сжатием в плоскости ав (вследствие несоответствия постоянных решеток), с параметром решетки $a = 3.78 \,\text{Å}$. Отметим, что в объемном кристалле LNO экспериментальное значение $a = 3.832 \,\text{Å}$ при $T = 100 \,\mathrm{K}$ [5]. Очевидно, что DFT + U расчеты для подложек, подверженных растяжению в плоскости ab (например, для SrTiO₃ или DyScO₃ с постоянной решетки $a=3.905\,\mathrm{\AA}$ и $3.94\,\mathrm{Å}$ соответственно), приводят к усиленнию корреляционных эффектов и, следовательно, более сильной тенденции к локализации [8, 11, 21].

В рамках метода DFT + U была проведена полная структурная релаксация 1.5 и.с. LNO пленки и двух интерфейсных слоев LAO слэба. Для нижних четырех слоев LAO слэба атомные позиции были фиксированы ("квазиобъемный" слой LAO с $a=3.78\,\text{Å}$). Для релаксированных слоев допускались как наклон, так и вращение октаэдров NiO₆ (AlO₆), поскольку каждый слой Ni-O (Al-O) содержит четыре иона Ni (Al).

В данной работе было проведено исследование влияния дальнего магнитного упорядочения и зарядового расслоения ионов Ni, определяемые структурным ограничением, на свойства тонких пленок LNO/LAO. В расчетах были использованы разные типы магнитного упорядочения. В частности, фер-

ромагнитные (ФМ) и три различных антиферромагнитных (АФМ) упорядочения с вектором $\mathbf{q}=(110)$ (С-тип АФМ), (111) (G-тип АФМ), и АФМ $(\frac{1}{2}\frac{1}{2}\frac{1}{2})$, соответственно. DFT + U расчеты проводились для "breathing-mode" искаженной решетки, с зарядовым упорядочением (СО) ионов Ni с вектором (111). Данный шахматный (111) СО тип порядка наблюдается в диэлектрических фазах никелатов с перовскитной структурой RNiO₃, и сопровождается $(\frac{1}{2}\frac{1}{2}\frac{1}{2})$ АФМ [3, 4, 5].

Б. $A\Phi M LNO/LAO$. На рисунке 1 представлен результат структурной оптимизации асимметричного (001) LNO/LAO слэба. DFT + U расчеты дают заметное изменение межатомных Ni-O расстояний в LNO со значительным отклонением длин связей Ni-O от их неискаженных значений (средняя длина связи Ni-О 1.933 Å). Это приводит к тетрагональному искажению кристаллической решетки. Кристаллическая решетка "растянута" вдоль оси c на 4%. Результаты демонстрируют заметную деформацию (buckling) поверхностного слоя, ~0.3 Å. Для С-типа, G-типа и $(\frac{1}{2},\frac{1}{2},\frac{1}{2})$ АФМ состояний было получено металлическое решение, характеризуемое "breathing-mode" искажениями октаэдров NiO₆ и зарядовым расслоением ионов Ni в интерфейсном (нижнем) NiO₂ слое. В рамках структурной оптимизации были получены два узла Ni с заметно отличающимися средними длинами связи Ni-O (с "расширенным" и "сжатым" NiO6 октаэдром) и магнитными моментами. Отметим, что средняя длина связи Ni-O в "расширенном" и "сжатом" октаэдре NiO₆ в интерфейсном слое составляет ~ 1.948 –1.95 и 1.91–1.915 Å, разница в длинах связи составляет приблизительно 0.03-0.04 А. Данное значение согласуется с разницей средних длин связи для других зарядово-диспропорциональных систем [67–71]. Полученные результаты дают примерно правильные октаэдры с длинами связи Ni-O 1.907/1.915 Å в/вне плоскости ab для "сжатого" NiO_6 октаэдра. Для "расширенного" октаэдра наблюдается заметное уменьшение длин связи вне плоскости ав по сравнению с длинами связи в плоскости ав, примерно от 1.934 до 1.955 Å и 1.907-1.971 Å для С-типа и $(\frac{1}{2}\frac{1}{2}\frac{1}{2})$ АФМ, соответственно. Наблюдается большая асимметрия длин внеплоскостных связей Ni-O, связанная со сдвигом иона Ni от центра NiO₆ октаэдра (полярное состояние) на $\sim 0.05 \,\text{Å}$.

На рисунках 2–5 приведены DFT + U расчеты зонной структуры и спектральных функций LNA/LAO для С-типа и $(\frac{1}{2}\frac{1}{2}\frac{1}{2})$ AФМ. DFT + U расчеты показывают слабое зарядовое расслоение Ni 3d состояний в нижнем NiO2 слое [67, 68, 58]. Разница заселенностей Ni e_q состояний между Ni^{3- δ} и

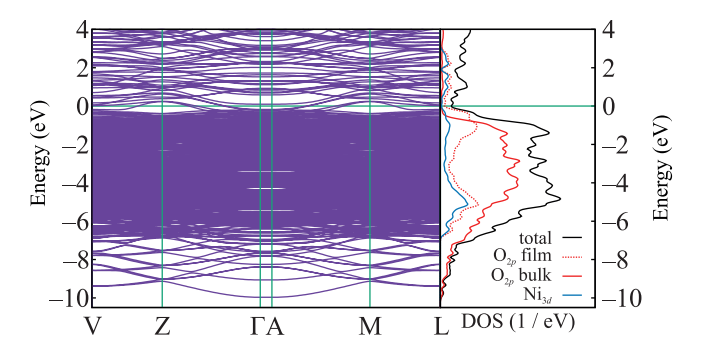


Рис. 2. (Цветной онлайн) DFT + U зонная структура и спектральные свойства LNO/LAO с АФМ С-типа. Уровень Ферми обозначен зеленой линией, $E_F=0$ эВ

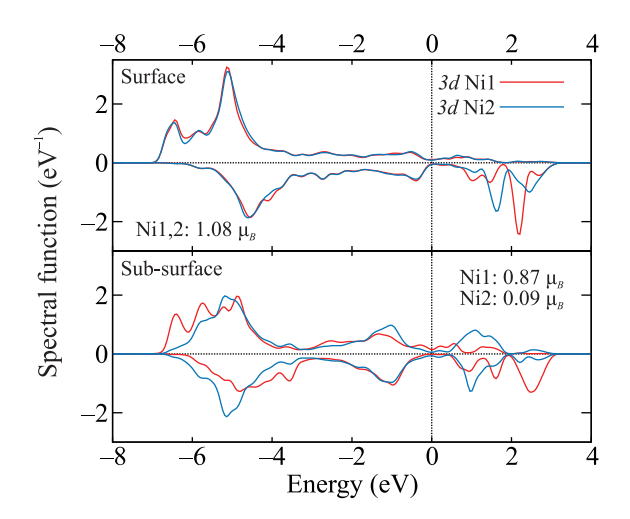


Рис. 3. (Цветной онлайн) DFT + U Ni 3d спектральные функции LNO/LAO для АФМ С-типа

 $Ni^{3+\delta}$ узлами мала, около 0.09 (связь-упорядоченное состояние). Полученное состояние характеризуется вектором (110). Более того, для интерфейсного слоя DFT + U расчеты дают два существенно разных Ni 3d магнитных состояния 0.8 и 0.08 μ_B для ионов Ni с "расширенным" и "сжатым" кислородным октаэдрами, соответственно. Данное поведение напоминает

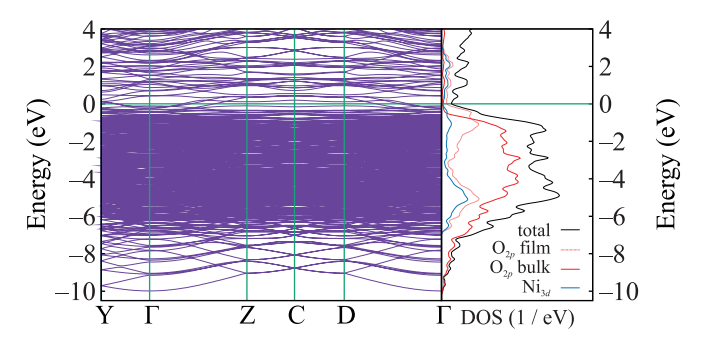


Рис. 4. (Цветной онлайн) Зонная структура и спектральные функции LNO/LAO с $(\frac{1}{2},\frac{1}{2},\frac{1}{2})$ АФМ

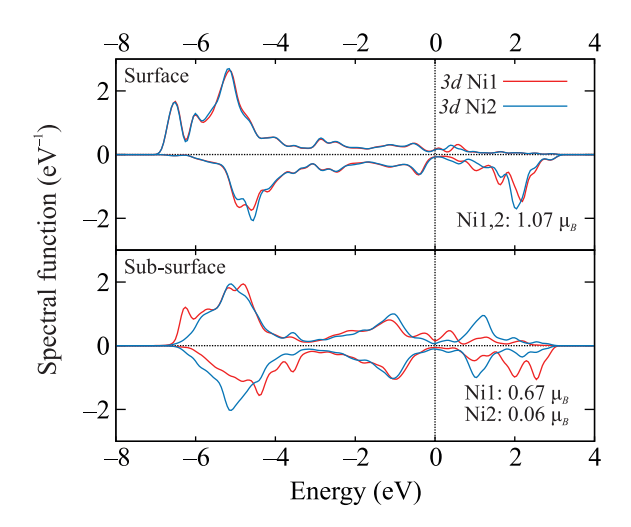


Рис. 5. (Цветной онлайн) Ni3dспектральные функции LNO/LAO с $(\frac{1}{2}\frac{1}{2}\frac{1}{2})$ АФМ

сайт-селективный переход Мотта [70, 71], наблюдаемый для диэлектрических фаз редкоземельных никелатов [36, 43]. В дополнение, решение характеризуется сильной Ni 3d-O 2p гибридизацией, что приводит к спиновой поляризации близлежащих ионов кислорода с противоположным магнитным моментом $\sim 0.1 \, \mu_B$.

В отличие от нижнего слоя, заселенности Ni 3dсостояний в поверхностном слое NiO2 почти одинаковы (однородны), с разницей ~ 0.02 -0.04. Спиновые моменты Ni 3d состояний примерно одинаковы, около 1.08 μ_B (для AФM). Для поверхностного слоя расчеты DFT + U не дают какого-либо заметного "breathing-mode" искажения решетки и зарядового расслоения, что приводит к металлическому решению. Интересно отметить, что оптимизация структурно искаженного поверхностного слоя NiO₂ дает решетку с приблизительно равными средними длинами связей Ni-O. Это означает, что зарядовое расслоение ионов Ni и "breathing-mode" искажения решетки нестабильны в поверхностном слое NiO₂, в отличие от нижнего слоя, для которого искажения решетки и диспропорционирование заряда являются устойчивыми. В поверхностном слое Ni-O расстояния в/вне плоскости *ab* в квадратных пирамидах NiO_5 составляют 1.92/2.16-2.24 Å.

Отметим важность межслойного переноса заряда (из-за того, что поверхностный и подповерхностный слои ${\rm NiO_2}$ различаются структурными и электронными свойствами). Таким образом, заселенность ${\rm Ni}$ 3d состояний в поверхностном слое на ~ 0.2 электрона меньше, чем в интерфейсных слоях ${\rm NiO_2}$. Более того, для ионов ${\rm Ni}$ в поверхностном слое наблюдается значительная орбитальная поляризация (для спи-

на вниз), составляющая 0.58 (преимущественно заселены $3z^2 - r^2$ дырочные спин-вниз состояния), что обусловленно расщеплением 3d уровней и сильными корреляционными эффектами. Данный результат подразумевает решающую важность эффектов структурного ограничения и переноса заряда. Орбитальная поляризация Ni e_g состояний, включая оба спин-вверх и -вниз состояния, составляет около 0.12. Ионы Ni в интерфейсном слое NiO₂ демонстрируют слабую орбитальную поляризацию с противоположным знаком (с превалирующей заселенностью дырками $x^2 - y^2$ орбиталей), менее ~ 0.06 . DFT + U расчеты полной энергии показывают, что АФМ С-типа энергетически выгоднее по сравнению с AФM $(\frac{1}{2}, \frac{1}{2}, \frac{1}{2})$ на ~ 22 мэВ/Ni. Выигрыш полной энергии по сравнению с АФМ G-типа составляет $\sim 16\,\mathrm{мэB/Ni}$.

 $B.\ \Phi M\ LNO/LAO.$ На рисунках 6 и 7 показаны результаты расчета зонной структуры и спектраль-

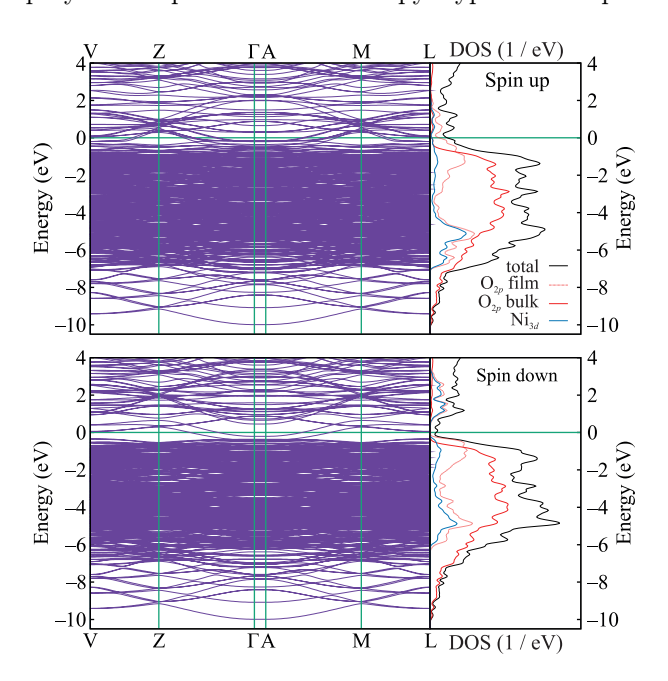


Рис. 6. (Цветной онлайн) Электронная структура ΦM LNO/LAO

ных функций ФМ LNA/LAO. По сравнению с АФМ LNO/LAO, расчеты не выявили свидетельств зарядового расслоения ионов Ni в плоскости и "breathing-mode" искажений для поверхностного и интерфейсного слоев NiO₂ (в ФМ). Структурная оптимизация в DFT + U дает примерно равные средние длины связи Ni-O: $\sim 1.967\,\text{Å}$ и $\sim 1.937\,\text{Å}$ для поверхностного и интерфейсного слоев, соответственно. В согласии с результатами для АФМ LNA/LAO, в интерфейсном слое обнаружена значительная асимметрия Ni-O связи между ионом Ni и верхним/нижнем ионом

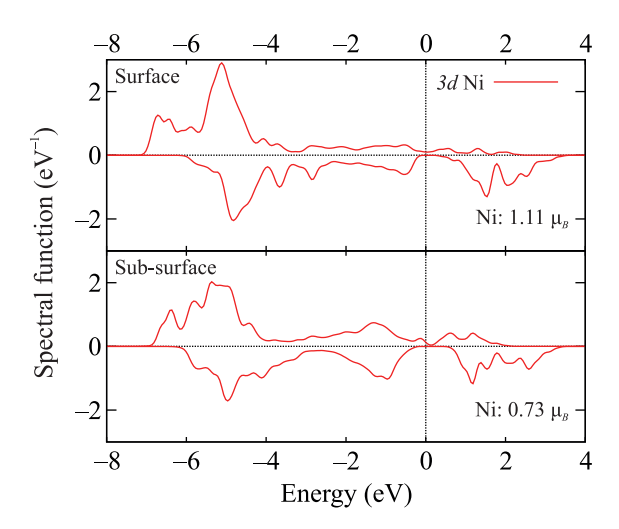


Рис. 7. (Цветной онлайн) Ni3dспектральные функции ФМ LNA/LAO

кислорода, около 1.897 и 1.979 Å. Ион Ni смещен от центра октаэдра ${\rm NiO_6}$ на ~ 0.04 Å (полярное состояние). Более того, для поверхностного слоя средние расстояния Ni-O связи в плоскости и вне плоскости существенно различаются, примерно 1.922 и 2.146 Å, соответственно.

Электронное и магнитное состояние ионов Ni в поверхностном слое NiO₂ практически идентично. Полная заселенность Ni 3d состояний в поверхностном слое NiO_2 составляет ~ 8.56 ; в интерфейсном слое это значение существенно выше ~8.74. Магнитные моменты Ni 3d равны 1.11 и $0.73\,\mu_B$ для ионов Ni в поверхностном и интерфейсном слоях, соответственно. Результаты показывают, что для ФМ LNA/LAO "breathing-mode" искажения решетки и зарядовое расслоение ионов Ni нестабильны. Наблюдается значительный межслойный перенос заряда (между ионами Ni в поверхностном и интерфейсном NiO_2 слоях). Заселенность $Ni\ 3d$ состояний в поверхностном слое на ~ 0.18 электронов меньше чем в интерфейсном NiO_2 слое. Более того, для ионов Ni в поверхностном слое DFT + U расчеты дают значительную орбитальную поляризацию около 0.51 с (почти) пустыми $3z^2 - r^2$ спин-вниз состояниями (их заселенность 0.18) относительно $x^2 - y^2$ состояний (0.56). Полная орбитальная поляризация Ni e_a спин-вниз и вверх состояний значительно меньше, около 0.19. Все это подчеркивает важность эффектов структурного ограничения и переноса заряда в LNA/LAO. Более того, ионы Ni в нижнем слое не проявляют заметных эффектов орбитальной поляризации (менее ~ 0.03), с преимущественным заселением дырками $x^2 - y^2$ состояний. Расчеты для полной энергии позволяют сделать вывод, что LNO/LAO в ФМ состоянии энергетически выгоднее в сравнении с АФМ С-типа на $\sim 29~{\rm MpB/Ni}$. Это позволяет предположить, что интерфейс LNO/LAO является ФМ. В согласии с АФМ LNO/LAO наблюдается сильная гибридизация между Ni 3d и O 2p состояниями, что приводит к слабой спиновой поляризации близлежащих ионов кислорода с противоположным моментом $\sim 0.1-0.2~\mu_B$.

DFT + U расчеты показывают, что учет эффектов структурного ограничения и релаксации решетки в сочетании с сильными корреляциями недостаточен для объяснения экспериментально наблюдаемого диэлектрического состояния 1.5 u.c. LNO/LAO. Это подразумевает возможную важную роль кислородных дефектов и нелокальных корреляций, в соответствии с [43, 12]. Данный результат согласуется с результатами XAS измерений пленок LNO/LAO, выращенных в условиях с различным давлением кислорода. Был сделан вывод о том, что кислородные вакансии связаны с MIT в ультратонких пленках LaNiO₃ [12]. DFT + U расчеты для ФМ, С-типа, G-типа и $(\frac{1}{2},\frac{1}{2},\frac{1}{2})$ АФМ состояний LNO/LAO дают псевдощелевое состояние с широкой параболической зоной на уровне Ферми. Данная зона связана с сильно гибридизованными Ni e_q и O 2p орбиталями, пересекающими E_F вблизи Γ точки зоны Бриллюэна (BZ) в $(\frac{1}{2},\frac{1}{2},\frac{1}{2})$ АФМ и вблизи ВZ Г и L точек для С- и G-АФМ и ФМ состояний, что подразумевает важность эффектов отрицательного переноса заряда в поверхностном слое NiO₂. Результаты позволяют сделать вывод, что природа диэлектрического состояния тонких пленок LNO/LAO может напоминать механизм МІТ в LaNiO_{3- δ} с дефицитом кислорода [30, 12].

3. Заключение. Используя метод DFT + U, были рассчитаны электронные и магнитные свойства тонких пленок LaNiO₃, эпитаксиально осажденных на подложке (001) LaAlO₃. Результаты показывают сильное влияние эффектов электронных корреляций, структурного ограничения и переноса заряда на электронные и магнитные свойства. Было показано, что "breathing-mode" искажения решетки и зарядовое расслоение ионов Ni в поверхностном NO₂ слое нестабильны. Поверхностный слой - зарядовооднородный металл с большой орбитальной поляризацией ионов Ni. Аналогичное поведение наблюдается в ФМ LNO/LAO. Вне зависимости от магнитного состояния наблюдается зарядовое разделение между ионами Ni в поверхностном и интерфейсном слоях NiO2, что указывает на важность межслойного переноса заряда и сильных корреляций. DFT + U результаты показывают, что эффекты структурного ограничения и релаксации решетки в сочетании с сильными корреляциями сами по себе недостаточны для объяснения экспериментально наблюдаемого диэлектрического состояния 1.5 u.c. LNO/LAO. Это наводит на мысль о важной роли кислородных дефектов для объяснения фазового перехода металлдиэлектрик, экспериментально наблюдаемого в тонких пленках LNO/LAO. Данная тема заслуживает дальнейшего подробного теоретического и экспериментального рассмотрения.

Исследование выполнено за счет гранта Российского научного фонда # 22-22-00926, https://rscf.ru/project/22-22-00926/.

- M. Imada, A. Fujimori, and Y. Tokura, Rev. Mod. Phys. 70, 1039 (1998).
- 2. D. Khomskii, *Transition Metal Compounds*, Cambridge University Press, Cambridge (2014).
- 3. G. Catalan, Phase Transit. 81, 729 (2008).
- J. B. Torrance, P. Lacorre, A. I. Nazzal, E. J. Ansaldo, and Ch. Niedermayer, Phys. Rev. B 45, 8209 (1992).
- J. L. García-Muñoz, J. Rodríguez-Carvajal, P. Lacorre, and J. B. Torrance, Phys. Rev. B 46, 4414 (1992).
- A. V. Boris, Y. Matiks, E. Benckiser et al (Collaboration), Science 332, 937 (2011).
- H. Y. Hwang, Y. Iwasa, M. Kawasaki, B. Keimer, N. Nagaosa, and Y. Tokura, Nat. Mater. 11, 103 (2012).
- 8. S. Middey, J. Chakhalian, P. Mahadevan, J. W. Freeland, A. J. Millis, and D. D. Sarma, Annu. Rev. Mater. Res. 46, 305 (2016).
- P. D. C. King, H. I. Wei, Y. F. Nie, M. Uchida, C. Adamo, S. Zhu, X. He, I. Božović, D. G. Schlom, and K. M. Shen, Nat. Nanotechnol. 9, 443 (2014).
- H. Chen and A. Millis, J. Phys.: Condens. Matter 29, 243001 (2017).
- S. Catalano, M. Gibert, J. Fowlie, J. Íniguez, J.-M. Triscone, and J. Kreisel, Rep. Prog. Phys. 81, 046501 (2018).
- M. Golalikhani, Q. Lei, R. U. Chandrasena et al. (Collaboration), Nat. Commun. 9, 2206 (2018).
- R. Scherwitzl, S. Gariglio, M. Gabay, P. Zubko, M. Gibert, and J. M. Triscone, Phys. Rev. Lett. 106, 246403 (2011).
- E. J. Moon, B. A. Gray, M. Kareev et al (Collaboration), New J. Phys. 13, 073037 (2011).
- M. Wu, E. Benckiser, M.W. Haverkort et al. (Collaboration), Phys. Rev. B 88, 125124 (2013).
- J. Fowlie, M. Gibert, G. Tieri, A. Gloter, J. Íniguez,
 A. Filippetti, S. Catalano, S. Gariglio, A. Schober,
 M. Guennou, J. Kreisel, O. Stéphan, and J. Triscone,
 Adv. Mater. 29, 1605197 (2017).
- M. Hepting, R. J. Green, Z. Zhong et al. (Collaboration), Nat. Phys. 14, 1097 (2018).

- I. Ardizzone, M. Zingl, J. Teyssier, H. U. R. Strand,
 O. Peil, J. Fowlie, A. B. Georgescu, S. Catalano,
 N. Bachar, A. B. Kuzmenko, M. Gibert, J.-M. Triscone,
 A. Georges, and D. van der Marel, Phys. Rev. B 102,
 155148 (2020).
- Q. Guo, S. Farokhipoor, C. Magén, F. Rivadulla, and B. Noheda, Nat. Commun. 11, 2949 (2020).
- P. Hansmann, X. Yang, A. Toschi, G. Khaliullin,
 O. K. Andersen, and K. Held, Phys. Rev. Lett. 103, 016401 (2009).
- A. Blanca-Romero and R. Pentcheva, Phys. Rev. B 84, 195450 (2011).
- 22. D. Doennig, W.E. Pickett, and R. Pentcheva, Phys. Rev. B **89**, 121110(R) (2014).
- S. Middey, D. Meyers, D. Doennig, M. Kareev, X. Liu, Y. Cao, Zh. Yang, J. Shi, L. Gu, P. J. Ryan, R. Pentcheva, J. W. Freeland, and J. Chakhalian, Phys. Rev. Lett. 116, 056801 (2016).
- B. Geisler, A. Blanca-Romero, and R. Pentcheva, Phys. Rev. B 95, 125301 (2017).
- B. Geisler and R. Pentcheva, Phys. Rev. Materials 2, 055403 (2018).
- B. Geisler and R. Pentcheva, Phys. Rev. B 102, 020502(R) (2020).
- B. Geisler, S. Follmann, and R. Pentcheva, Phys. Rev. B 106, 155139 (2022).
- B. Lau and A. J. Millis, Phys. Rev. Lett. 110, 126404 (2013).
- H. Lau, A. J. Millis, and C. A. Marianetti, Phys. Rev. B 93, 235109 (2016).
- 30. X. Liao and H. Park, Phys. Rev. Mater. **7**, 015002 (2023).
- O. E. Lau, M. Ferrero, and A. Georges, Phys. Rev. B 90, 045128 (2014).
- A. B. Georgescu, O. E. Peil, A. S. Disa, A. Georges, and A. J. Millis, Proc. Natl. Acad. Sci. 116, 14434 (2019).
- 33. J. Ruppen, J. Teyssier, O.E. Peil, S. Catalano, M. Gibert, J. Mravlje, J.-M. Triscone, A. Georges, and D. van der Marel, Phys. Rev. B 92, 155145 (2015).
- V. Bisogni, S. Catalano, R. J. Green, M. Gibert,
 R. Scherwitzl, Y. Huang, V. N. Strocov, P. Zubko,
 S. Balandeh, J.-M. Triscone, G. Sawatzky, and
 T. Schmitt, Nat. Commun. 7, 13017 (2016).
- 35. H. Guo, Z. W. Li, L. Zhao, Z. Hu, C. F. Chang, C.-Y. Kuo, W. Schmidt, A. Piovano, T. W. Pi, O. Sobolev, D. I. Khomskii, L. H. Tjeng, and A. C. Komarek, Nat. Commun. 9, 43 (2018).
- H. Park, A. J. Millis, and C. A. Marianetti, Phys. Rev. Lett. 109, 156402 (2012).
- A. Subedi, O. E. Peil, and A. Georges, Phys. Rev. B 91, 075128 (2015).
- 38. P. Seth, O.E. Peil, L. Pourovskii, M. Betzinger, C. Friedrich, O. Parcollet, S. Biermann, F. Aryasetiawan, and A. Georges, Phys. Rev. B **96**, 205139 (2017).

- A. Hampel and C. Ederer, Phys. Rev. B 96, 165130 (2017).
- O. E. Peil, A. Hampel, C. Ederer, and A. Georges, Phys. Rev. B 99, 245127 (2019).
- A. Hampel, P. Liu, C. Franchini, and C. Ederer, npj Quant. Mater. 4, 5 (2019).
- 42. K. Haule and G. L. Pascut, Sci. Rep. 7, 10375 (2017).
- X. Liau, V. Singh, and H. Park, Phys. Rev. B 103, 085110 (2021).
- I.I. Mazin, D.I. Khomskii, R. Lengsdorf, J.A. Alonso, W.G. Marshall, R.M. Ibberson, A. Podlesnyak, M.J. Martí nez-Lope, and M.M. Abd-Elmeguid, Phys. Rev. Lett. 98, 176406 (2007).
- 45. S. Johnston, A. Mukherjee, I. Elfimov, M. Berciu, and G. A. Sawatzky, Phys. Rev. Lett. **112**, 106404 (2014).
- M. Azuma, S. Carlsson, J. Rodgers, M. G. Tucker, M. Tsujimoto, S. Ishiwata, S. Isoda, Y. Shimakawa, M. Takano, and J. P. Attfield, J. Am. Chem. Soc. 129, 14433 (2007).
- 47. I. Leonov, A. S. Belozerov, and S. L. Skornyakov, Phys. Rev. B **100**, 161112(R) (2019).
- D. Li, K. Lee, B.Y. Wang, M. Osada, S. Crossley, H.R. Lee, Y. Cui, Y. Hikita, and H.Y. Hwang, Nature (London) 572, 624 (2019).
- M. Rossi, M. Osada, J. Choi et al. (Collaboration), Nat. Phys. 18, 869 (2022).
- C. C. Tam, J. Choi, X. Ding, S. Agrestini, A. Nag, M. Wu, B. Huang, H. Luo, P. Gao, M. García-Fernández, L. Qiao, and K.-J. Zhou, Nat. Mater. 21, 1116 (2022).
- G. Krieger, L. Martinelli, S. Zeng, L. E. Chow, K. Kummer, R. Arpaia, M. Moretti Sala, N. B. Brookes, A. Ariando, N. Viart, M. Salluzzo, G. Ghiringhelli, and D. Preziosi, Phys. Rev. Lett. 129, 027002 (2022).
- I. Leonov, S. L. Skornyakov, and S. Y. Savrasov, Phys. Rev. B 101, 241108(R) (2020).
- 53. F. Lechermann, Phys. Rev. X 10, 041002 (2020).
- J. Karp, A. S. Botana, M. R. Norman, H. Park, M. Zingl, and A. Millis, Phys. Rev. X 10, 021061 (2020).

- J. Karp, A. Hampel, Ma. Zingl, A. S. Botana, H. Park, M. R. Norman, and A. J. Millis, Phys. Rev. B 102, 245130 (2020).
- 56. I. Leonov, J. Alloys Compd. 883, 160888 (2021).
- A. S. Botana, F. Bernardini, and A. Cano, JETP 159, 711 (2021).
- K. G. Slobodchikov and I. V. Leonov, Phys. Rev. B 106, 165110 (2022).
- A. Kreisel, B. M. Andersen, A. T. Rømer, I. M. Eremin, and F. Lechermann, Phys. Rev. Lett. 129, 077002 (2022).
- M. A. Vysotin, I. A. Tarasov, A. S. Fedorov,
 S. N. Varnakov, and S. G. Ovchinnikov, Pis'ma v
 ZhETF 116, 318 (2022).
- V.I. Anisimov, J. Zaanen, and O.K. Andersen, Phys. Rev. B 44, 943 (1991).
- 62. S.L. Dudarev, G.A. Botton, S.Y. Savrasov, C.J. Humphreys, and A.P. Sutton, Phys. Rev. B 57, 1505 (1998).
- J. P. Perdew, K. Burke, and M. Ernzerhof, Phys. Rev. Lett. 77, 3865 (1996).
- 64. S. Baroni, S. de Gironcoli, A. Dal Corso, and P. Giannozzi, Rev. Mod. Phys. **73**, 515 (2001).
- P. Giannozzi, S. Baroni, N. Bonini et al. (Collaboration),
 J. Phys.: Condens. Matter 21, 395502 (2009).
- 66. L. Bengtsson, Phys. Rev. B 59, 12301 (1999).
- 67. J. P. Attfield, Solid State Sciences 8 861 (2006).
- G. M. Dalpian, Q. Liu, J. Varignon, M. Bibes, and A. Zunger, Phys. Rev. B 98, 075135 (2018).
- 69. N.B. Ivanova, S.G. Ovchinnikov, M.M. Korshunov, I.M. Eremin, and N.V. Kazak, Phys.-Uspekhi **52**, 789 (2009).
- E. Greenberg, I. Leonov, S. Layek, Z. Konopkova, M.P. Pasternak, L. Dubrovinsky, R. Jeanloz, I.A. Abrikosov, and G.Kh. Rozenberg, Phys. Rev. X 8, 031059 (2018).
- S. Layek, E. Greenberg, S. Chariton, M. Bykov,
 E. Bykova, D. M. Trots, A. V. Kurnosov, I. Chuvashova,
 S. V. Ovsyannikov, I. Leonov, and G. Kh. Rozenberg,
 J. Am. Chem. Soc. 144, 10259 (2022).